

Equilibre: (1) R. de la résultante cinétique
 (2) R. du moment cinétique en B

$$\vec{R}_A + \vec{R}_B + (M+m)\vec{g} = \vec{0}$$

$$\vec{BA} \wedge \vec{R}_A + \vec{BG} \wedge (M+m)\vec{g} = \vec{0}$$

Soit x la distance (BM). Alors: $x \in [0, P]$.

$$(M+m)(BG) = \frac{m\ell}{2} + Mx \quad \Rightarrow \quad \vec{BG} = \begin{pmatrix} \frac{m\ell/2 + Mx}{M+m} \\ -\sin d \\ \cos d \\ 0 \end{pmatrix}$$

$$\vec{BA} = \ell \begin{pmatrix} -\sin d \\ \cos d \\ 0 \end{pmatrix}$$

(1) \Rightarrow $R_A = -R_B t$
 $R_{Bn} = (M+m)g$

(2) $\Rightarrow -\ell R_A \cos d + (m\frac{\ell}{2} + Mx)g \sin d = 0.$

$$\Rightarrow \boxed{\begin{matrix} R_A = \left(\frac{m}{2} + M\frac{x}{\ell}\right)g \operatorname{tg} d = -R_{Bt} \\ R_{Bx} = (M+m)g \end{matrix}}$$

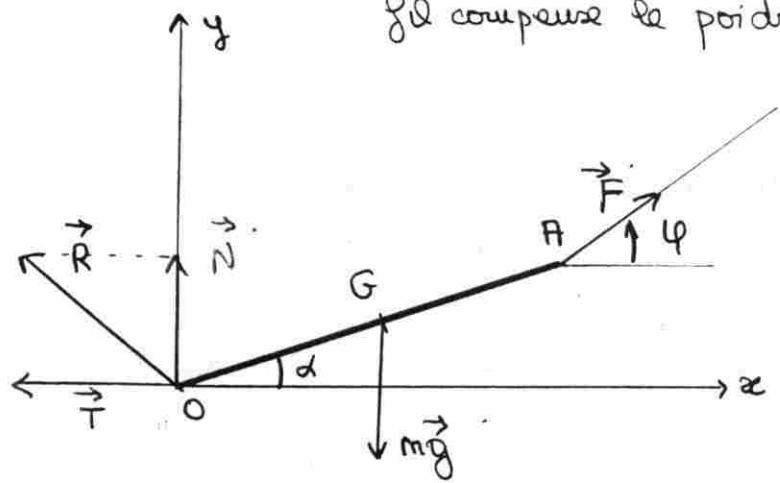
condition de non glissement: $|R_{Bt}| < f |R_{Bn}|$

soit: $\left(\frac{m}{2} + M\frac{x}{\ell}\right)g \operatorname{tg} d < (M+m)g f \quad \forall x.$

\Rightarrow en particulier c'est vrai pour $x=P$ c'est vrai pour tout x dans $[0, P]$ donc:

$$\boxed{\operatorname{tg} d < f \frac{M+m}{M+m/2} = \frac{M+m}{M+m/2} \operatorname{tg} \varphi}$$

on suppose $\varphi > \alpha$ et $\varphi < \alpha + \pi$ pour que la tension du fil compense le poids.



Système : tige

- Forces :
- poids en G
 - action du sol \vec{R} en O
 - tension du fil \vec{F} en A

(3 forces concourantes...)

Equilibre de la tige : $\vec{R} + m\vec{g} + \vec{F} = \vec{0}$.

en projetant sur x et y avec $\vec{R} = \vec{T} + \vec{N}$

on a :

$$\begin{cases} N = mg - F \sin \varphi \\ T = -F \cos \varphi \end{cases}$$

$\vec{J}_O(\vec{R}) + \vec{J}_O(m\vec{g}) = \vec{0}$

$\Rightarrow AO \wedge (\vec{T} + \vec{N}) + AG \wedge m\vec{g} = \vec{0}$

$\Rightarrow 2l \begin{vmatrix} \cos \alpha \\ -\sin \alpha \\ 0 \end{vmatrix} \wedge \begin{vmatrix} +T \\ N \\ 0 \end{vmatrix} + l \begin{vmatrix} \cos \alpha \\ -\sin \alpha \\ 0 \end{vmatrix} \wedge \begin{vmatrix} 0 \\ -mg \\ 0 \end{vmatrix} = 0$

$\Rightarrow 2l (N \cos \alpha + T \sin \alpha) + l (-mg \cos \alpha) = 0$

$\Rightarrow \underline{mg - 2N + 2 \tan \alpha T = 0}$

ce qui donne

$$T = \frac{mg}{2 \tan \alpha - \tan \varphi}$$

$$N = \frac{1}{2} mg \frac{\tan \varphi - 2 \tan \alpha}{\tan \varphi - \tan \alpha}$$

* Pour que le contact ait lieu, il faut déjà que : $N > 0$
donc que : $\tan \varphi < 2 \tan \alpha$ ou $\tan \varphi > 2 \tan \alpha$.

* Il faut en outre que la condition de non glissement soit vérifiée :
 $|T| < f |N|$.

1^{er} cas : $\tan \varphi < 2 \tan \alpha$: alors $T > 0$

et elle se traduit par : $\frac{1}{2} \frac{1}{\tan \alpha - \tan \varphi} < \frac{f}{2} \frac{1}{\tan \alpha - \tan \varphi}$ ($2 \tan \alpha - \tan \varphi$)

soit : $\tan \varphi < 2 \tan \alpha - \frac{1}{f}$

on a donc la double condition : $\begin{cases} \tan \varphi < 2 \tan \alpha \\ \tan \varphi < 2 \tan \alpha - 1/f \end{cases}$

Donc: si $\rho > \frac{1}{\tan \alpha}$ fort frottement : la condition de non glis.
est automatiquement vérifiée si $N > 0$!

si $\rho < \frac{1}{\tan \alpha}$ faible frottement : φ est limitée par la
condition de non glissement
 $\tan \varphi < 2 \tan \alpha - \frac{1}{\rho}$

si ρ vraiment petit: la seule valeur de φ convenable est $\frac{\pi}{2}$

2^e cas: si $\tan \varphi > 2 \tan \alpha$, T est négative et la relation de
non glissement s'écrit: $-T < \rho N$.

soit: $\frac{1}{2} \frac{1}{\tan \varphi - \tan \alpha} < \frac{\rho}{2} \frac{\tan \varphi - 2 \tan \alpha}{\tan \varphi - \tan \alpha} \Rightarrow \tan \varphi > \frac{1}{\rho} + 2 \tan \alpha$

La, la condition de non glissement impose la plage de valeurs
de φ : $\tan \varphi > \frac{1}{\rho} + 2 \tan \alpha$.

Conclusion: la tige reste en équilibre lorsque:

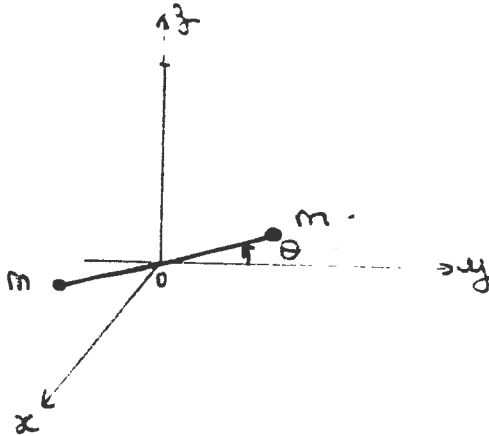
$$\varphi < \min \left[\pi/2, \operatorname{Arctan} \left(2 \tan \alpha - \frac{1}{\rho} \right) \right]$$

ou

$$\varphi > \operatorname{Arctan} \left(\frac{1}{\rho} + 2 \tan \alpha \right).$$

MES 401

10)



ref: $(xyz) = (R)$ galiléen

sys: barre + 2m.

forces: couple de rappel - CC
poids $2m\vec{g}$ eu c.

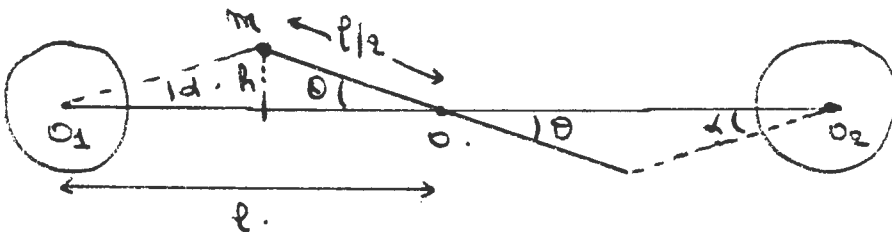
th. du moment cinétique eu projeté sur Oz :

$$J\ddot{\theta} = -c\theta \quad \text{avec } J = 2m\frac{l^2}{4} = \frac{ml^2}{2}$$

$$\Rightarrow \ddot{\theta} + \frac{c}{J}\theta = 0$$

$$\Rightarrow T_0 = 2\pi\sqrt{\frac{J}{c}} = 2\pi\sqrt{\frac{ml^2}{2c}}$$

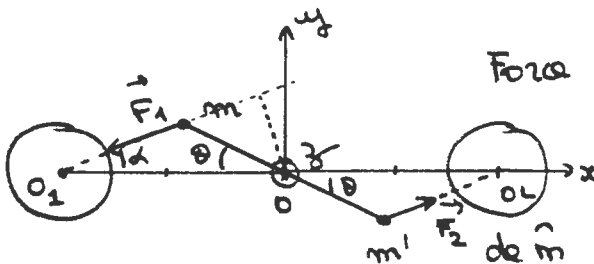
20)



$O_1m \neq \frac{d}{2l}$ au 1^{er} ordre eu c. et $\sin d \neq d \neq \frac{d}{l} \neq \theta$ cqfd.

$$d \approx \theta$$

30)



Force exercée par M_1 sur m la + proche:

$$\vec{F}_1 = \frac{GM_1m}{(O_1m)^3} \vec{mO}_1 \quad \text{avec } O_1m \neq \frac{p}{2}$$

$$\vec{F}_2 = \frac{GM_2m}{(O_2m)^3} \vec{mO}_2 \quad \text{avec } O_2m \neq \frac{p}{2}$$

$$\vec{F} = \vec{F}_1 + \vec{F}_2 = \frac{GMm}{\left(\frac{p}{8}\right)^3} (\vec{mO}_1 + \vec{mO}_2) = \vec{0} \Rightarrow \underline{\underline{\text{couple}}}$$

$$\vec{\mathcal{M}}_O(\vec{F}) = 2 \times 8 \frac{GMm}{p^3} (\vec{Om} \wedge \vec{mO}_1) = \frac{16GMm}{p^3} \frac{p}{2} \cdot \frac{p}{2} \begin{vmatrix} -\cos\theta & -\cos\theta \\ \sin\theta & -\sin\theta \\ 0 & 0 \end{vmatrix}$$

$$\Rightarrow \vec{\mathcal{M}}_O(\vec{F}) \neq -\frac{8GMm}{p} \times \theta \vec{u}_z$$

Mouvement : $\frac{1}{2} m l^2 \ddot{\theta} + c\dot{\theta} + \frac{8gHm}{e} \theta = 0.$

soit la nouvelle période : $T = 2\pi \sqrt{\frac{m l^2}{2} / (c + \frac{8gHm}{e})}$

soit : $g = \frac{\pi^2 l^3}{4M} \left(\frac{1}{T^2} - \frac{1}{T_0^2} \right)$

AN : $T \approx T_0$ d'où $T = 2\pi \sqrt{\frac{m l^2}{2c} \left(1 + \frac{1}{2} \frac{8gHm}{ec} \right)}$

$\Rightarrow T \approx T_0 \left(1 - \frac{4gHm}{ec} \right)$

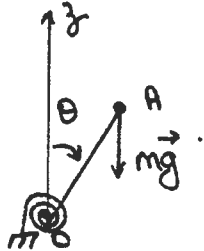
$\Rightarrow \frac{T-T_0}{T_0} = - \frac{4gHm}{ec}$ avec $c = \frac{m l^2}{2T_0^2} 4\pi^2$

$\Rightarrow \frac{T-T_0}{T_0} = - \frac{2gH T_0^2}{l^3 \pi^2} = -4,6 \cdot 10^{-3}$ et $T = 2,98,6 \text{ s}$

Rug : c'est effectivement une méthode de mesure de g . En pratique il faut aussi tenir compte de l'influence de M_1 sur m et M_2 sur m

MES 402

10)



- Syst. à un degré de liberté : θ .

- énergie potentielle U du système :

$U = E_p(\text{poids}) + E_p(\text{ressort})$

* $E_p(\text{poids})$: $\delta W_{\text{poids}} = -dE_p = -mg dz_A$ et $z_A = l \cos \theta$

$\Rightarrow E_p(\text{poids}) = mgl \cos \theta + c_1$

* $E_p(\text{ressort})$: $\delta W_{\text{ressort}} = -dE_p' = -c\theta \times d\theta$

$\Rightarrow E_p'(\text{ressort}) = \frac{1}{2} c\theta^2 + c_2$

$\Rightarrow U = mgl \cos \theta + \frac{1}{2} c\theta^2 + c_1$ on choisit l'origine des E_p à $\theta=0$

$\Rightarrow U = mgl(1 + \cos \theta) + \frac{1}{2} c\theta^2$

$\left(\frac{dU}{d\theta} \right) = 0 \Leftrightarrow c\theta - mgl \sin \theta = 0$. $\theta=0$ est une position d'équilibre

$\left(\frac{d^2U}{d\theta^2} \right)_{\theta=0} = (c - mgl \cos \theta) |_{\theta=0} = c - mgl$

$\theta=0$ est stable si $c > mgl$.

20) Intégrale première de l'énergie : $E = E_c + U$ se conserve

(liaisons parfaites et forces conservatives).

$$\frac{dE}{dt} = 0 = \frac{d}{dt} \left(\frac{1}{2} J \dot{\theta}^2 + mgl (\cos\theta - 1) + \frac{1}{2} c \theta^2 \right)$$

$$\Rightarrow \boxed{J \ddot{\theta} - mgl \sin\theta + c\theta = 0.} \quad \text{avec } J = m\rho^2$$

θ petit: $\ddot{\theta} + \frac{c - mgl}{m\rho^2} \theta = 0.$

$$T = 2\pi \sqrt{\frac{m\rho^2}{c - mgl}} = 2\pi \sqrt{\frac{\rho}{\frac{c}{m\rho} - g}}$$

$$G = \frac{c}{m\rho} \text{ et } T = 2\pi \sqrt{\frac{\rho}{G - g}}$$

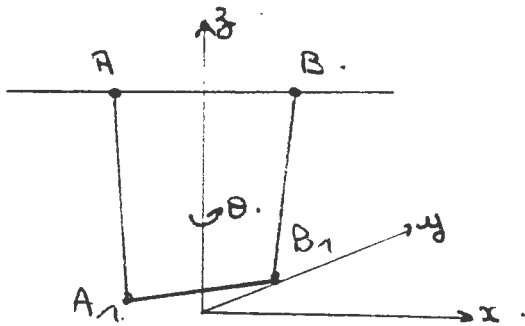
30). on a $\frac{d(\ln T)}{dT} = \frac{\Delta T}{T} = + \frac{1}{2} \frac{\Delta g}{(G - g)}$ (G est constant).

pendule simple: $T_0 = 2\pi \sqrt{\frac{\rho}{g}} \Rightarrow \frac{\Delta T_0}{T_0} = - \frac{1}{2} \frac{\Delta g}{g}.$

si $(G - g) \ll g$: le syst. est bcp plus sensible qu'une pendule simple aux variations de g .

NES 403

10).



$$B_1 \begin{vmatrix} \rho \cos\theta \\ \rho \sin\theta \\ z \end{vmatrix} \quad A_1 \begin{vmatrix} -\rho \cos\theta \\ -\rho \sin\theta \\ z \end{vmatrix}$$

$$B \begin{vmatrix} \rho \\ 0 \\ R \end{vmatrix}$$

et $BB_1^2 = \rho^2 = \left(\frac{\rho}{2}\right)^2 (\cos\theta - 1)^2 + (\rho)^2 \sin^2\theta + (R - z)^2$

$$\Rightarrow \rho^2 - 2\rho^2 \cos\theta + \rho^2 - 2Rz + z^2 = 0. \quad \theta \text{ petit, donc } z \ll R.$$

au premier ordre en z : $z \approx \frac{\rho^2}{2R} (1 - 2\cos\theta) \approx \frac{\rho^2}{2R} \theta^2.$

$$\boxed{z \approx \frac{\rho^2 \theta^2}{2R}}$$

20) Système soumis à des liaisons sans frottement et à des forces conservatives: E est constante.

$$E_c = \frac{1}{2} J \dot{\theta}^2 + \frac{1}{2} m \dot{z}^2 \quad (\text{Koenig}) \quad \text{avec } J = \frac{1}{12} 4\rho^2 m = \frac{1}{3} m\rho^2$$

$$\dot{z} = \frac{2\rho^2}{2R} \dot{\theta} \theta \Rightarrow \frac{1}{2} m \dot{z}^2 = \frac{1}{2} \frac{m\rho^4}{R^2} \dot{\theta}^2 \theta^2 \ll \frac{1}{2} J \dot{\theta}^2 \quad (\theta \text{ petit}).$$

$$U = E_p (\text{potiel}) = mgz + c\theta^2 \quad E_p = 0 \text{ à } z = 0 \Rightarrow U = \frac{mg\rho^2}{2R} \theta^2.$$

$$\Rightarrow E = E_0 = \frac{1}{2} m \dot{\theta}^2 + \frac{mg\rho^2}{2R} \theta^2$$

ou dérivé vult / d't; avec $z = \frac{R}{2h} \theta^2$ il vient :

$$\frac{1}{2} \frac{2}{3} m R^2 \ddot{\theta} + \frac{m g l^2}{R^2} \theta = 0$$

d'où

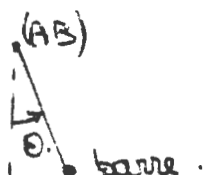
$$T = 2\pi \sqrt{\frac{R}{3g}}$$

3°) Oscillations de la barre autour de AB: pendule simple de longueur R.

$$T_0 = 2\pi \sqrt{\frac{R}{g}}$$

⇒

$$T = \frac{T_0}{\sqrt{3}}$$



Méthode de Timochenko

1.a. $(O, \mathbf{u}_x, \mathbf{u}_y, \mathbf{u}_z)$, avec \mathbf{u}_x horizontal et \mathbf{u}_z vertical ascendant. On pose $\mathbf{OG} = x.\mathbf{u}_x$, $x \in [-\ell, \ell]$,

$$\mathbf{T}_1 = T_1.\mathbf{u}_x, \mathbf{N}_1 = N_1.\mathbf{u}_z, \mathbf{T}_2 = T_2.\mathbf{u}_x, \mathbf{N}_2 = N_2.\mathbf{u}_z.$$

$$m\ddot{x} = T_1 + T_2; m\ddot{z} = -m.g + N_1 + N_2 = 0; |T_1| = f.N_1; |T_2| = f.N_2. |T_1| + |T_2| = f.m.g.$$

$$\Gamma_{G,N_2} + \Gamma_{G,N_1} = \mathbf{0} \text{ donne } N_1(\ell + x) - (\ell - x)N_2 = 0.$$

$$N_2 = \frac{1}{2}m.g\left(1 + \frac{x}{\ell}\right), N_1 = \frac{1}{2}m.g\left(1 - \frac{x}{\ell}\right), |T_1| = \frac{1}{2}f.m.g\left(1 - \frac{x}{\ell}\right) \text{ et } |T_2| = \frac{1}{2}f.m.g\left(1 + \frac{x}{\ell}\right).$$

1.b. $v_g(l_1) = (\dot{x} - r.\omega) < 0$ et $v_g(l_2) = (\dot{x} + r.\omega) > 0$ car $0 \leq |\dot{x}| \leq r.\omega$.

$$T_1 = \frac{1}{2}f.m.g\left(1 - \frac{x}{\ell}\right) > 0 \text{ et } T_2 = -\frac{1}{2}f.m.g\left(1 + \frac{x}{\ell}\right) < 0. \quad \text{1.c. } T = 2\pi\sqrt{\frac{\ell}{f.g}}.$$

Mouvement d'une barre

3.a. $\mathbf{R}_1 = \mathbf{N}_1 + \mathbf{T}_1, \mathbf{R}_2 = \mathbf{N}_2. |T_1| = f.|N_1|. \mathbf{JG} = x.\mathbf{u}_x, x \in [a, 2a].$

$$\Delta E_c = W_{\text{ext}} \text{ donne } \frac{1}{2}m.v_f^2 - \frac{1}{2}m.v_0^2 = - \int_a^{2a} T_1 . dx \text{ ou } \frac{1}{2}m.v_0^2 = \int_a^{2a} T_1 . dx.$$

$$\text{Le TMC en J donne } -m.g.x + 2a.N_1 = 0. N_1 = m.g\frac{x}{2a} \text{ et } T_1 = f.m.g\frac{x}{2a}. v_0 = \sqrt{\frac{3f.g.a}{2}}.$$

3.b. $\ddot{x} + \frac{f.g}{2a}x = 0. \text{ Avec } \Omega^2 = \frac{f.g}{2a}, x(t) = a.\cos(\Omega.t) + \frac{v_0}{\Omega}.\sin(\Omega.t).$

$$x(t_0) = 2a \text{ et } v(t_0) = 0 \text{ donnent : } \sin(\Omega.t_0) = \frac{\sqrt{3}}{2} \quad t_0 = \frac{\pi}{3}\sqrt{\frac{2a}{f.g}}$$

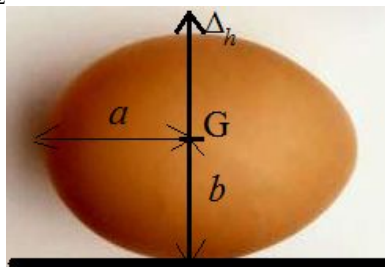
Résolution de problème

L'œuf dur en rotation

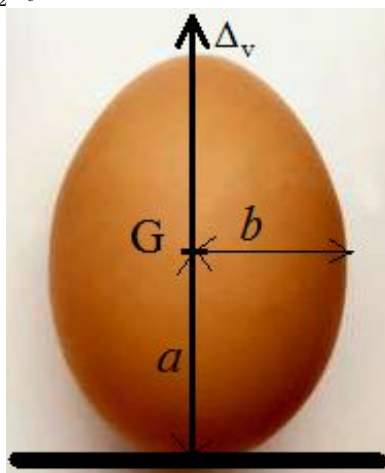
Exemple de résolution

On note a le demi grand axe et b le demi petit axe de l'œuf dur, et G son centre d'inertie qu'on considère au centre de l'œuf si ce dernier est homogène, de masse volumique $\mu \approx 1,0 \times 10^3 \text{ kg} \cdot \text{m}^{-3}$. L'énergie mécanique est la somme de l'énergie potentielle de pesanteur $m g z_G$ et cinétique $\frac{1}{2} J \omega^2$. Deux cas sont à considérer :

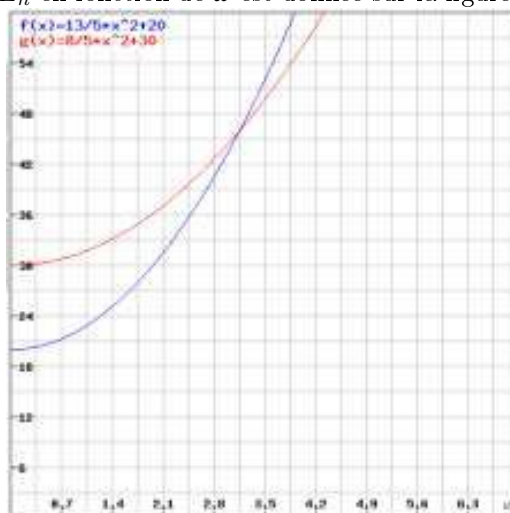
- soit l'œuf dur est mis en rotation autour de son petit axe (noté Δ_h), avec le moment d'inertie J_h et l'énergie mécanique est $E_h = m g b + \frac{1}{2} J_h \omega^2$;



- soit l'œuf dur est mis en rotation autour de son grand axe (noté Δ_v), avec le moment d'inertie $J_v < J_h$ et l'énergie mécanique est $E_v = m g a + \frac{1}{2} J_v \omega^2$.



L'allure des deux courbes E_v et E_h en fonction de ω est donnée sur la figure :



On voit que $E_v < E_h$ (donc l'œuf dur se relève) si $\omega > \omega_c$, tel que

$$m g a + \frac{1}{2} J_v \omega_c^2 = m g b + \frac{1}{2} J_h \omega_c^2$$

soit

$$\omega_c = \sqrt{\frac{2m g (a - b)}{J_h - J_v}}$$

Pour la version expert :

On peut évaluer le rayon (le plus faible) à $b \approx 2,25$ cm, la hauteur à $a \approx 3,25$ cm.

Le moment d'inertie vertical est tel que $\frac{J_v}{m} < \frac{b^2}{4} + \frac{a^2}{12} = 2,15 \times 10^{-4} \text{ m}^2$.

Le moment d'inertie horizontal est tel que $\frac{J_h}{m} > \frac{2b^2}{5} = 2,02 \times 10^{-4} \text{ m}^2$ et $\frac{J_h}{m} < \frac{2a^2}{5} = 4,23 \times 10^{-4} \text{ m}^2$.

On pourrait prendre : $\frac{J_h}{m} \approx 3 \times 10^{-4} \text{ m}^2$ et $\frac{J_v}{m} \approx 2 \times 10^{-4} \text{ m}^2$, soit

$$\omega_c \approx \sqrt{\frac{2 \times 10 \times 1 \times 10^{-2}}{1 \times 10^{-4}}} = 66 \text{ rad} \cdot \text{s}^{-1}$$

soit 10 tours par seconde, ce qui semble possible à faire à la main, bien que difficile.